

التقييم الكمي للأداء المهارى لمتسابقى إطاحة المطرقة بأربعة متغيرات *د/ مروى عبد القادر محمد صقر

الملخص:

كانت مسابقة إطاحة المطرقة ومازالت المسابقة الشيقة التي تمثل صعوبة التكتيک مع كبير مسافة الإنجاز. ويتقدم المستويات الرقمية وخاصة للسيدات وتركيب تكتيک إطاحة المطرقة، فوجب على المدربين أن يتعرفوا على نقاط الضعف الخاصة بكل رامي ووضع البرنامج التدريبي الفردى له والنموذج الذى يناسبه.

كما أن سرعة الأداء في إطاحة المطرقة دفع المدربين إلى ضرورة التعاون مع الباحثين في مجال الميكانيكا الحيوية لتحليل المتغيرات كميا لاكتشاف فجوات الأداء رقميا وهو الامر الذى لا يمكن أن تكتشفه عين المدرب إلا المحترف منهم. ولسرعة الأداء الفنى للمطرقة في الثلاث مستويات وحول الثلاثة محاور وبسبب خطورة المسابقة ولضمان دقة النتائج وجب استخدام كاميرات كثيرة وعلامات كثيرة على الجسم بعرض تحليل الأداء حركيا كميا وهذا هو المتبوع في الأبحاث على المستوى الدولى.

ولذلك حاولت الباحثة في هذه الدراسة التحقق من إمكانية استخدام عدد ٥ علامات فقط للوصول لفهم المتغيرات المرتبطة مباشرة بفاعلية الأداء وتقييمها كميا للحكم على الأداء. وأوضحت مناقشة النتائج أنه يمكن الحكم على مستوى اللاعب في الأداء المهارى وبشكل كمى فقط عن طريق حساب أربعة متغيرات ميكانيكية.

* مدرس بقسم نظريات وتطبيقات العاب القوى - كلية التربية الرياضية جامعة مدينة السادات

المقدمة:

كانت مسابقة إطاحة المطرقة و مازالت المسابقة الشيقية التي تمثل صعوبة التكنيك مع كبر مسافة الإنجاز. فقد بلغ الرقم العالمي للسيدات (٨٢.٩٨ متر) عام ٢٠١٦ باسم أنيتا ولدارسكى. بينما بقى الرقم العالمي للرجال (٨٦.٧٤ متر) دون كسر منذ عام ١٩٨٦ باسم يورى سيديك.

وبتقدم المستويات الرقمية وخاصة للسيدات وتركيب تكنيك إطاحة المطرقة، فوجب على المدربين بتقدم مستوى الرامي أن يتعرف على نقاط الضعف الخاصة به دون غيره بالإضافة إلى وضع البرنامج التدريبي الفردي له والنموذج الذي يناسبه. كما أن سرعة الأداء في إطاحة المطرقة دفع المدربين إلى ضرورة التعاون مع الباحثين في مجال الميكانيكا الحيوية لتحليل المتغيرات كميا لاكتشاف فجوات الأداء رقميا و هو الامر الذي لا يمكن أن تكتشفه عين المدرب إلا المحترف منهم (Judge et al., 2008).

محاولات الباحثين تعددت على مر العقود لتصف المتغيرات الميكانيكية التي تحكم آداء إطاحة المطرقة سواء أثناء البطولات أو في جلسات تصوير خاصة أو أثناء التدريب. في إطار محاولات لتفصير المتغيرات وتقسيم الأداء الحركي إلى مراحل لتقديم نصائح للاعبين والمدربين لزيادة مسافة الإطاحة وتحسين الأداء المهارى.

فقد تبني الباحثون في بداية الامر الحديث عن المطرقة بتقسيم التكنيك الى ارتکازات فردية وزوجية في كل دوران بالإضافة إلى الدخول في الدوران ومرحلة الإطاحة. ومنذ عام ٢٠٠٧ تبني مورفوشى تقسيما مختلفا لوصف المتغيرات على أساسه وتبعه بعده باحثون آخرون، وهو تقسيم الدورانات إلى نقاط عليا ونقاط سفلی للمطرقة بالإضافة أيضا إلى الدخول في الدوران ومرحلة الإطاحة.

تخللت هذه العقود محاولات بعض الباحثين للتبؤ بالمستوى الرقمي سواء حسابيا أو إحصائيا أو عن طريق النمذجة. ولكنهم وجدوا أن معجزة الجسم البشرى الذى استطاع أن يؤدى هذا الأداء السريع المركب لا يمكن أن تحتويه معادلة نمذجة واحد (T.K.Karalis, 1991; Wang et al., 2016).

كل هذه المحاولات كانت تعتمد على التحليل الحركى باستخدام الكاميرات عالية الجودة و ذات التردد العالى المناسب لسرعة الأداء و زمنه. والعلامات الموضوعة على الجسم والتي لم تقل في معظم الدراسات عن ٢٢ علامة تتبعا لنموذج هانافان Hanavan Model لتقسيم

أجزاء الجسم. ووصل في بعضها إلى ٣٦ علامة لتعقب جميع مفاصل الجسم بدقة عالية بشكل ثلاثي الأبعاد.

وبالرغم من دقة برامج التحليل الحركى وعلى رأسها برنامج SimiMotion إلا أن التحليل الحركى للمطرقة يتطلب مجهوداً كبيراً حيث أن الحركة الدورانية التي تشبه القمع على جميع مستويات الحركة حول الثلاث محاور تتطلب التحليل اليدوى للعلامات الذى يستغرق وقت طويل لضمان دقة البيانات.

ولذلك كانت هناك عدة محاولات للتوصل لأقوى المتغيرات تحكماً وتأثيراً في الأداء حتى يمكن التنبؤ بباقي المتغيرات بالتباعية في ضمن الباحث أو المدرب وجود تغذية راجعة مباشرة للاعب والمدرب بأقل مجهود وأقل عدد من العلامات الموضوعة على الجسم وذلك عن طريق دراسة الانحدار المتعدد والخطى لبعض المتغيرات الميكانيكية للحركة المطرقة واكتشاف ارتباطها بنفس المتغيرات لجزاء جسم اللاعب (Brice et al., 2015; Okamoto et al., 2006; Sakr, 2012; Wang et al., 2015).

على الرغم من محدودية هذه الدراسات المتمثلة في قلة عدد المشتركين وعدم شمولها لجميع الفئات السنوية من الرماه، وإنما بعض اللاعبين المتميزين وقليل من لاعبى الدرجة الأولى وأحياناً من طلاب الجامعات. إلا انهم يكادون يتتفقون على بعض المتغيرات الهامة التي يمكن من خلالها الحكم على مهارة اللاعب واداءه في الملعب.

وهذه المتغيرات التي تبناها (يانج ٢٠٢٠) هي قوة الجذب المركزية للمطرقة وارتفاع الحوض عن الأرض وميل الجذع وارتفاع اليد. والمتغير ارتفاع اليد قد تم استبداله بارتفاع رأس المطرقة على المحول الرأسى.

وهنا وجبت الملاحظة ان هذه المتغيرات ليست للتنبؤ بمسافة الرمى وإنما هي لتحديد نقاط الضعف في الأداء وتوجيه نظر اللاعب والمدرب إليها بالقياس المباشر في الملعب والتغذية الراجعة الفورية. وسيتم تلخيص أهمية هذه المتغيرات سابقاً الذكر بعينها للحكم على صحة الأداء المهى.

ارتفاع المطرقة هو قيم إزاحة رأس المطرقة على المحور الرأسى. تمر المطرقة أثناء المسار بالنقط العلية والسفلى والذى ينتج ميل مسار المطرقة والذى يؤهل لاطلاق المطرقة بالزاوية المناسبة والارتفاع المناسب في نهاية الدورانات في مرحلة الرمى. وينسب إليه باقى المتغيرات من ارتفاع وهبوط نقطة الحوض والشد في السلاك الناتج من القوة الجاذبة المركزية

التي يؤثر بها اللاعب على المطرقة أثناء المسار الدوراني. بالنسبة للاعبين المتميزين تكون النقاط العليا والسفلى في جميع الدوران في مكان واحد يناسب إلى زوايا السمت (Murofushi et al., 2007).

تعتمد قوة الشد في سلك المطرقة على كتلة المطرقة (m) طول نصف قطر المنحنى (r) والسرعة الزاوية (ω) (Murofushi et al., 2005)، متمثلة في المعادلة التالية:

$$F = mr\omega^2$$

ونصف قطر الدوران مع السرعة الزاوية هما لحساب السرعة المماسية لرأس المطرقة. كما أن نصف قطر المنحنى ليس نصف قطر دائرة وإنما هو لحظي نظرا لأن مسار رأس المطرقة في الدورانات ليس مننظم. وبالتالي حساب نصف قطر المنحنى يتم من خلال المعادلة التالية :

$$r = \frac{v^3}{|\alpha, v|}$$

وبالتالي فإن نصف قطر المنحنى اللحظي يعتمد في حسابه على كل من سرعة وعجلة رأس المطرقة اللحظية (Lee et al., 2000). و يتدرج الشد في السلك الناتج عن القوة الجاذبة المركزية تقدر ب ٩٠٠ - ٨٠٠ نيوتن في حالة اللاعبين المتميزين عند بدء الدخول في الدوران ويزيد تدريجيا إلى أن يصل ٣٥٠٠ - ٣٠٠٠ نيوتن عند الرمي بينما تقل هذه القيم بانخفاض مستوى اللاعب حتى إنها لا تتعدى ٢٠٠٠ نيوتن عند الرمي في حالة اللاعب الجامعي. وتظهر قمة الشد في السلك في كل دوران في النصف الثاني من كل دوران مزدوج و قبل بداية الارتكاز الفردي (Murofushi et al., 2007)

فمن الأهمية تدوير المطرقة حول محور الدوران بخفض مركز ثقل الجسم لزيادة تحكم اللاعب في المطرقة والاستفادة من وزن جسمه في شدها لاتجاه الدوران وبالتالي زيادة سرعتها ولتسهيل الانتقال إلى مرحلة الارتكاز المزدوج ولذلك يعتبر وزن اللاعب ميزة عند الانتقاء (Bartonietz, 2000; Murofushi et al., 2007; Okamoto et al., 2006).

أما عن ارتفاع حوض اللاعب عن الأرض على المحور الرأسي يعتبر من المؤشرات الهامة على ثبات اللاعب واتزانه الحركي وخاصة إن تكاملت البيانات مع قوة الجذب

المركزية. حيث أن ارتفاع نقطة الحوض تحدث متزامنة على مرحلة الارتكاز المزدوج والتي يحاول فيها اللاعب زيادة تسارع المطرقة.

يذكر "وتو" (١٩٩٢) بدراسته لصاحب الرقم العالمي في إطاحة المطرقة أن الحوض يرتفع أثناء مراحل الارتكاز المزدوج خاصة بعد النقطة السفلية للمطرقة ويهبط أثناء مراحل الارتكاز الفردي خاصة بعد النقطة العليا للمطرقة. أي ان النقطتين يسيران عكسيا.

وأنه وجد أن مسار النقطتين (الحوض ورأس المطرقة) بالنسبة للاعبين الأقل إنجازا من ٧٠٪ واللاعبين المبتدئين يسيران في نفس الاتجاه صعودا وهبوطا أي أنهم يعلون معا ويهبطان معا (Murofushi et al., 2007).

يلخص جهد اللاعب في مرحلة جذب المطرقة ميل جذع اللاعب نسبة للمستوى الأفقي (س ص) كما أن هذا المتغير يوضح مقدار التأثير على المطرقة بوزن الجسم لزيادة تسارعها. حيث إمالة الظهر للخلف أثناء شد المطرقة خلال الارتكاز الزوجي و مرور المطرقة بالنقطة السفلية مهم في تحقيق الاتزان بين اللاعب والمطرقة.

كما يعتبر ظهور أكثر من قمة في منحني ميل الجذع في الدوران الواحد دليلا على ضعف التوافق وكذلك ضعف عضلات الرجلين والجذع (Wan et al., 2020).

ويظهر جليا في الرابع الأخير من الدوران الأخير او مرحلة الاستعداد للطلاق ومرحلة اطلاق المطرقة ميل الجذع للخلف حيث ينقل اللاعب الطاقة الحركية من الرجلين للجذع ثم المطرقة مع زيادة التسارع ومحاولة زيادة نصف قطر الدوران (Bartonietz, 2000). وتم حسابه عن طريق معادلة ميل المستقيم على المستوى الأفقي ومقلوب جيب تمام الناتج للحصول على الزاوية .

مشكلة البحث:

ومن خلال خبرة الباحثة في مجال التحليل الحركى في إطاحة المطرقة في مرحلة الماجستير والدكتوراه وأبحاث ما بعد الدكتوراه والتي تعتمد على دراسة المتغيرات الميكانيكية لأداء إطاحة المطرقة، ومع خطورة المسابقة التي تتطلب التصوير من على بعد واللاعب متلزم بالرمي في القفص أو تجاه شبكة، مما يعيق وضع كاميرات ويؤدى لعدم استطاعة ضبط الزوايا المناسبة بين الكاميرات (٦٠ - ١٢٠ درجة) والتي بدورها عامل من عوامل الحكم على دقة البيانات ثلاثية الأبعاد.

تبين أنه مازالت هناك صعوبة في عملية التحليل الحركي لـ تكنيك إطاحة المطرقة بهدف الحصول على متغيرات كيناتيكية وأنه بالرغم من التطور المستمر في برنامج Simi Motion، إلا أن العمل اليدوى يغلب على التحليل و خاصة باستخدام عدد لا يقل عن ٦ من الكاميرات ذات التردد العالى الذى يصل الى ٣٠٠ كادر/ث. لذلك كان هدف هذه الدراسة التثبت من إمكانية الحكم على تكنيك لاعبين مبتدئين من خلال هذه المتغيرات الأربع بشكل كمى، إمكانية الوصول لنتائج عملية لهم المدرب بدون اللجوء إلى اختصار عمل الجسم فى مسار مركز ثقله.

الأمر الذى يعتبر مضلل في مسابقة إطاحة المطرقة نتيجة لوجود نصف قطر دوران طویل يجبر على انشاء نقطة محور دوران مشترك. ولذا كان هدف البحث هو الاقتصار في التقييم الكمى للأداء المهارى لمتسابقى إطاحة المطرقة على أربعة متغيرات فقط عملية يمكن أن يشجع على إجراء المزيد من الدراسات على لاعبي ولاعبات إطاحة المطرقة المصريين نتيجة تقليل صعوبة إجراءات التحليل الحركي والاكتفاء ببعض علامات على الجسم وتقليل عدد الكاميرات المستخدمة لتغطية الأداء أثناء التحليل الحركي. وبالتالي الخروج بنتائج سريعة ودقيقة في نفس الوقت يمكن لللاعب والمدرب الاستفادة منها عمليا.

هدف البحث :

الاقتصر في التقييم الكمى للأداء المهارى لمتسابقى إطاحة المطرقة على أربعة متغيرات.

تساؤلات البحث :

هل الأربعة متغيرات كافية للتقييم الكمى للأداء المهارى لمتسابقى إطاحة المطرقة؟

إجراءات البحث:

المنهج :

المنهج الوصفي هو المناسب لطريقة تحقيق هدف البحث.

العينة:

تم اختيار العينة بالطريقة العمدية بناءا على موافقة مدربة إطاحة المطرقة بنادى LG Stadtwerk München في مدينة ميونخ بألمانيا . حيث تم تصوير اللاعبين فى شهر إبريل ٢٠٢٠ (بعد الإغلاق التام بسبب جائحة كورونا). تم تصوير خمس لاعبين ولاعبات عمرهم التدربي بين سنة و ٥ سنوات. عند تحليل الأداء حرکيا و لاسباب تقنية تم استبعاد تحليل اثنين

ليقى ثلاثة من المبتدئين في اطاحة المطرقة يوضح جدول (١) توصيفهم وقت إجراء التجربة. واختيار فئات سنية أو أعمار تدريبية مختلفة يفيد البحث حيث أنه وصفى ويمكن أن يثبت صلاحية الاعتماد على المتغيرات الأربع للتقيم الكمى لاداء إطاحة المطرقة مع اختلاف الفئة السنية أو العمر التدريبي.

جدول (١)
توصيف عينة البحث

العينة	الفئة العمرية	الطول سم	الوزن كجم	الإنجاز الرقمي متر	وزن المطرقة (كجم)	وزن المطرقة المستخدمة التجربة (كجم)
١	تحت ١٧ ناشئ	١٨١	٧٨	(٢٠٢٠) م ٢٩.١٠	٤.٨٨٠	وزن المطرقة (كجم)
٢	تحت ١٥ ناشئة	١٧٠	٧٠	(٢٠٢٠) م ٤٣.٤٠	٣.٩٦٠	وزن المطرقة (كجم)
٤	تحت ١٢ طفلة	١٥٧	٥٣	(٢٠٢٠) م ٤٣.٧٤	٢	وزن المطرقة (كجم)

تجربة البحث :

تم التصوير في جلسة خاصة في إبريل ٢٠٢٠ بالصالمة الرياضية لكلية الرياضة جامعة ميونخ للتكنولوجيا يوم ٢٦ إبريل ٢٠٢٠ (بعد نهاية فترة الإغلاق المتصل بسبب كرونا). حيث يوجد شبكة محطة بدائرة الرمي داخل الصالة المغطاة. نظام التحليل الحركى الخاص بمعهد هندسة الأدوات والمواد الرياضية بنفس الجامعة ويتضمن ٨ كاميرات عالية الجودة بتردد ٣٠٠ كادر/ث. تتصل كلها بجهاز الحاسوب حيث يتم التحكم فيها والتزامن في بداية التصوير بتوصيلها جميعاً بجهاز الحاسوب المنصب عليه برنامج® Simi Motion، وبالتالي فإنه تم تلاشى خطأ التزامن بين بداية التقاط الكادرات مما يزيد من دقة النتائج. استخدمت علامات على الجسم تبعاً لبروتوكول العمل بالبرنامج أيضاً لضمان استخراج النتائج كاملة إلا ان العلامات الداخلية في مفاصل الرجل والذراع لم توضع نظراً لطبيعة الأداء الذي لم يكن يدعم ثبات هذه العلامات مع الدورانات وكذلك لعدم تشتيت انتباه اللاعبين بضرورة

الحفظ على العلامات في مكانها مما كان سيؤدي إلى قصور الأداء المهارى عن المعتاد بالنسبة لهم.

تم استخدام بعض العلامات فقط في التحليل لهذه الدراسة (اليد اليسرى، الفقرة العنقية الأخيرة والفقرة العجزية الأخيرة، رأس المطرقة، علامة على الرجل اليمنى)، وهذه العلامات تناسب اللاعب الأيمن وقد كان جميعهم كذلك.

سمح لكل مشارك بأداء ثلاثة محاولات فأكثر ثم تم اختيار أفضل محاولة من حيث التكينيك والثبات أثناء التخلص من المطرقة. وزن المطارق البديلة المستخدمة في الرمي كما في جدول توصيف العينة.

الأدوات المستخدمة في البحث:

ميزان رقمي - مسطرة قياس الأطوال - ٨ كاميرات تصوير - مطارق مختلفة الأوزان تبعاً للمرحلة السنوية - جهازين حاسب ألى مثبت عليهما برنامج التحليل الحركى - نظام معايرة خاص ببرنامج التحليل الحركى - علامات عاكسة توضع على مفاصل الجسم وهي كرات صغيرة من الفوم مغلفة بالشريط العاكس - دائرة الرمى المحاطة بالشباك.

المعالجات الحسابية للمتغيرات الكمية:

استخدم برنامج اكسيل لحساب المتغيرات . لم يتم حساب متواسطات حيث أنها ستكون خادعة بناءً على تباين مستوى المشاركين بالإضافة إلى هدف البحث في التقييم الفردى للاعبين ومقارنته بلاعبين ذوى المستوى العالى.

عرض ومناقشة النتائج :

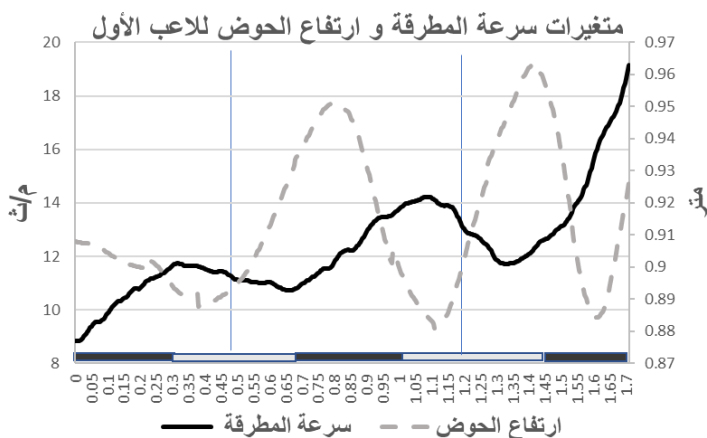
ستتم مناقشة النتائج لكل لاعب أو لاعبة وستتم مناقشة النتائج الكمية للأربعة متغيرات المشار إليها سابقاً.

أولاً: عرض ومناقشة نتائج المتغيرات الكمية لداء إطاحة المطرقة للاعب الأول

يشير شكل (١) إلى أن مرحلة الارتكاز الفردى للاعب أكبر من الارتكاز المزدوج في الدورانين، يشير أيضاً إلى تزامن النقاط العليا للمطرقة، والمتمثلة في الخطوط الرئيسية المتقاطعة مع مرحلة الارتكاز الفردى في جميع الاشكال البيانية، مع قبل منتصف مرحلة الارتكاز الفردى أي أنها مبكرة.

وهذا عكس الموصى به تبعاً للتحليل الزمنى لداء المطرقة وأنه يجب أن يزيد زمن الارتكاز المزدوج حيث تطبيق قوة أكبر للتسارع واتزان أفضل عنه في الارتكاز الفردى

(Babbitt, 2003; Bartonietz, K., 1997; Manuel et al., 2002; Murofushi et al., 2007; Sakr, 2012)



شكل (١)

متغيرات سرعة المطرقة وارتفاع الحوض للاعب الأول، يظهر في الرسم البياني خط مقسم فوق محور س يبين مراحل الارتكاز الفردي (رصاصي) والمزدوج (الأسود) وخطان عموديان يشيران إلى النقطة العليا للمطرقة

بالنسبة لسرعة المطرقة فهى تسير بقيم متزايد من دوران لآخر (شكل ٢ ب). بدأ بسرعة $٨\text{م}/\text{ث}$ وانتهت $١٩\text{م}/\text{ث}$ لحظة الانطلاق. هذه القيم تبتعد كثيراً عن مستويات تحقيق أكثر من ٧٠ م مسافة رمى (Manuel et al., 2002; Murofushi et al., 2007).

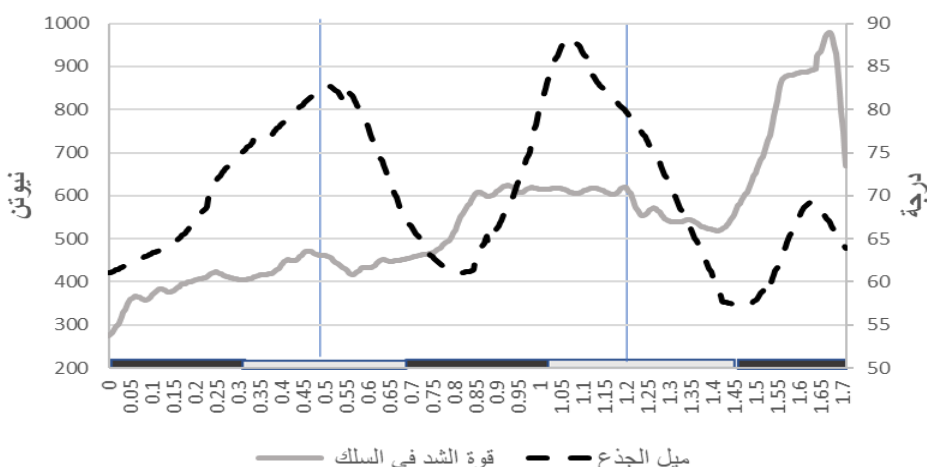
ولكن ما يهمنا هو الحكم على صلاحية التكنيك. و نتزامن فترة تسارع المطرقة مع مرحلة الارتكاز المزدوج ماعدا في الدوران الأخير بدأ بالتزامن بعد النقطة العليا للمطرقة و هذه نقطة قوة في أداء اللاعب حيث تمكّن من إطالة مسار التسارع قبل لحظة الانطلاق.

أما متغير ارتفاع الحوض فيترواح بين ٠٠.٨٨ م و ٠٠.٩٦ م حيث يبدأ الدخول في الدوران بارتفاع حوض ٠٠.٩٠ م بينما يصل لعدم الفرد الكامل لحظة التخلص فيصل الارتفاع إلى ٠٠.٩٣ م .

كما نلاحظ تزامن قمة ارتفاع نقطة الحوض في الدوران الأول بعد بداية الارتكاز المزدوج بينما في الدوران الثاني لم يستطع اللاعب التوافق فكان أعلى ارتفاع للحوض أثناء نهاية الارتكاز الفردي وقبل الدخول في المزدوج الثاني.

بالنسبة لميل الجذع فيشير شكل (٢) إلى تراوح درجة ميل الجذع بين (٥٦ و ٨٩ درجة) مع المستوى الرأسى. تترافق استقامة الجذع (تقرب من ٩٠ درجة) مع النقطة العليا. ونلاحظ أن درجة ميل الجذع بلغ في الدوران الأول ٨٥ درجة مع المستوى الأفقى ولكن استقام مبكرا قبل الوصول إلى النقطة العليا للمطرقة في الدوران الثانى حيث وصل تقربيا ٩٠ درجة مع المستوى الأفقى.

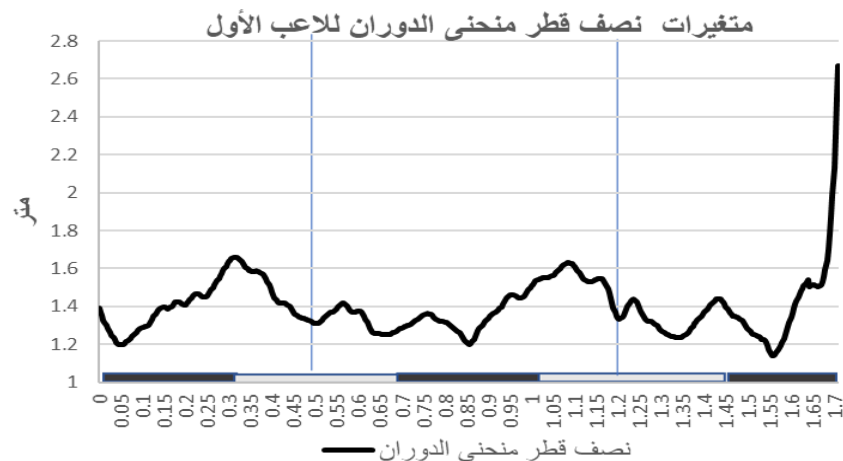
متغيرات ميل الجذع وقوة الشد في السلك للاعب الأول



شكل (٢)

متغيرات درجة ميل الجذع وقوة الشد في السلك للاعب الأول، يظهر في الرسم البياني خط مقسم فوق محور س يبين مراحل الارتكاز الفردى (رصاصى) والمزدوج (الاسود) و خطان عموديان يشيران إلى النقطة العليا للمطرقة

وبالنسبة لقوية الشد في السلك فيوضح من (شكل ٢) أن قوية الشد في السلك تتراوح بين (٢٠٠ - ٩٩٠ نيوتن) والتي ترتبط بكل من السرعة الزاوية ونصف قطر الدوران (شكل ٣)، تزداد قيمة قوية الشد في السلك متزامنة مع تزايد سرعة المطرقة أكثر منه في فترات تزايد نصف قطر منحنى الدوران وتأخذ قيمها العليا قبل الرمي مباشرة. وأن الزيادة في نصف قطر الدوران لا يتعدى ٠.٢ م فرق بين القمة والقاع في الشكل البياني بينما الزيادة في السرعة .



شكل (٣)

متغير نصف قطر منحنى الدوران للاعب الأول، يظهر في الرسم البياني خط مقسم فوق محور س يبين مراحل الارتكاز الفردي (رصاصي) و المزدوج (الأسود) و خطان عموديان يشيران إلى النقطة العليا للمطرقة

بهذا يتضح أن اللاعب قد بدأ تعلم أداء الدوران الثاني حديثاً وبالتالي فتوافق الأداء في الدوران الثاني أقل منه في الدوران الأول كما يبدو أيضاً من عدم اتفاق أزمنة الارتكاز الفردي والمزدوج مع الموصى به من ضرورة إطالة زمن الارتكاز المزدوج عن الفردي (Bartonietz, K., 1997; Bartonietz, 2000; Manuel et al., 2002).

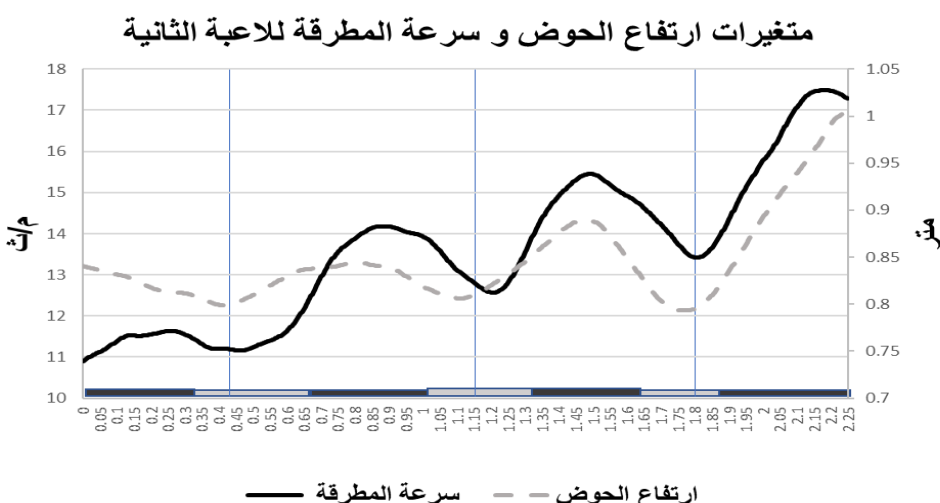
ولأن ارتفاع نقطة الحوض تحدث متزامنة على مرحلة الارتكاز المزدوج والتي يحاول فيها اللاعب زيادة تسارع المطرقة يمثل نقطة ضعف في الأداء وكذلك تعجل اللاعب الوصول للنقطة العليا للمطرقة في الدوران الثاني لم يمكنه من التحكم في جسمه حيث اضطر للوقوف مبكراً قبل بداية الارتكاز المزدوج الثاني.

وبالرغم مما سبق ومن صغر قيم المتغيرات مثل سرعة المطرقة، التي تصل لـ ٢٧ م/ث لحظة الرمي. وكذلك قوة الشد في السلك مقارنة بالمستويات العليا التي تتراوح بين ٥٠٠ نيوتن و ٢٥٠٠ نيوتن (Brice et al., 2008, 2015; Murofushi et al., 2005, 2007; Okamoto et al., 2006; Wang et al., 2016)

إلا أن الأداء المهازي للاعب بشكل عام في اتجاه الوصف بأنه صحيح تحسين التوافق في الدوران الثاني وخاصة انتفاع الحوض والمد الكامل لحظة الإطاحة. كذلك يحتاج اللاعب

العمل على زيادة سرعة الدوران مع زيادة نصف قطر الدوران حتى يمكنه تطوير مستوى الرقى.

ثانياً: عرض ومناقشة نتائج المتغيرات الكمية لداء إطاحة المطرقة للاعبة الثانية بالسبة لسرعة المطرقة فهي تسير بقيم متزايدة من دوران للاخر (شكل ٤). بدأت بسرعة ١١م/ث وانتهت ١٧.٥م/ث لحظة الإطلاق. ويحدث تناقص في سرعة المطرقة في كل دوران بداية من منتصف مرحلة الارتكاز الفردى وتبدأ القيم في الزيادة عقب المرور بالنقطة العليا للمطرقة.



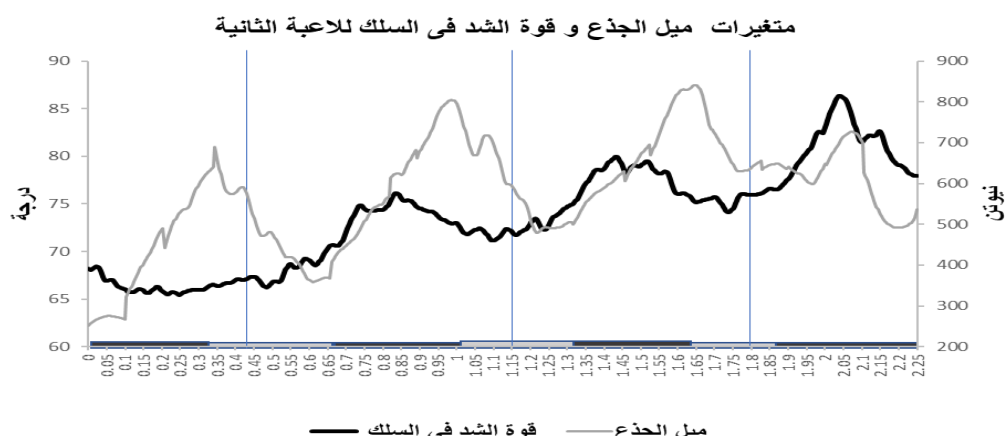
شكل (٤)

متغيرات ارتفاع الحوض و سرعة المطرقة للاعبة الثانية ، يظهر فى كل رسم بياني خط مقسم فوق محور س يبين مراحل الارتكاز الفردى (رصاصى) والمزدوج (الاسود) وخطان عموديان يشيران إلى النقطة العليا للمطرقة

بالسبة لارتفاع الحوض فإن القيم تتراوح بين (٠.٧٨ - ١٠) أي المد الكامل للجسم لحظة الإطاحة. وتترافق مراحل انخفاض ارتفاع الحوض اي خفض الجسم لأسف قبل النقطة العليا في كل دوران (شكل ٤).

ويبيين شكل (٥) أن قيم قوة الشد في السلك تتزايد تدريجيا من دوران لأخر بنفس منحى ازدياد السرعة (شكل ٤) وتتراوح القيم بين (٣٥٠ - ٨٣٠ نيوتن) وأن مرحلة الزيادة

تعقب النقطة العليا للمطرقة. كما يتضح من شكل (٥) درجات ميل الجذع والتي تتراوح بين (٦٣ - ٨٨ درجة) وتزامن اقصى استقامة للجذع في مرحلة الارتكاز المزدوج بعيداً عن النقاط العليا للمطرقة. وتصل ميل الجذع لـ ٧٥ درجة لحظة الإطاحة.



شكل (٥)

متغيرات ميل الجذع وقوه الشد في السلك للاعبة الثانية، يظهر في كل رسم بياني خط مقسم فوق محور س يبين مراحل الارتكاز الفردي (رصاصي) والمزدوج (الاسود) وخطان عموديان يشيران إلى النقطة العليا للمطرقة

ويوضح شكل (٦) نصف قطر منحني الدوران قيم بين (١.٢ - ١.٩٥) و التي تظهر في شكل ٣ منحنيات تصل قمتها لحظة الإطاحة و تزداد دائماً بعد المرور بالنقطة العليا للمطرقة.



شكل (٦)

متغير نصف قطر منحني الدوران للاعبة الثانية، يظهر في كل رسم بياني خط مقسم فوق محور س يبين مراحل الارتكاز الفردي (رصاصي) والمزدوج (الاسود) وخطان عموديان يشيران إلى النقطة العليا للمطرقة

بالنسبة لسرعة المطرقة فهي تسير بقيم متزايد من دوران لآخر. بدأ بسرعة ١١ م/ث وانتهت ١٧.٥ م/ث لحظة الانطلاق. هذه القيم تبتعد كثيراً عن مستويات تحقيق أكثر من ٧٠ م مسافة رمي (Manuel et al., 2002; Murofushi et al., 2007). بل أن هذا المدى أقل من التزايد في السرعة الذي حققه اللاعب الأول بالرغم من اعتماده على دورانين اثنين فقط في مقابل ٣ دورانات ادتها الاعبة الثانية. وتتزامن فترة تسارع المطرقة مع مراحل الارتكاز المزدوج أي بعد النقطة العليا وقت كبير.

وهذه فجوة يجب على الاعبة تداركها حيث يحدث التسارع بمجرد وضع القدم على الأرض وبعد النقطة العليا مباشرة. وهو ما فعلته الاعبة في الدوران الأخير قبل الإطاحة. هذه نقطة قوة في أداء الاعبة حيث تمكنت من إطالة مسار التسارع قبل لحظة الانطلاق (Bartonietz, K., 1997; Bartonietz, 2000; Manuel et al., 2002; Murofushi et al., 2005).

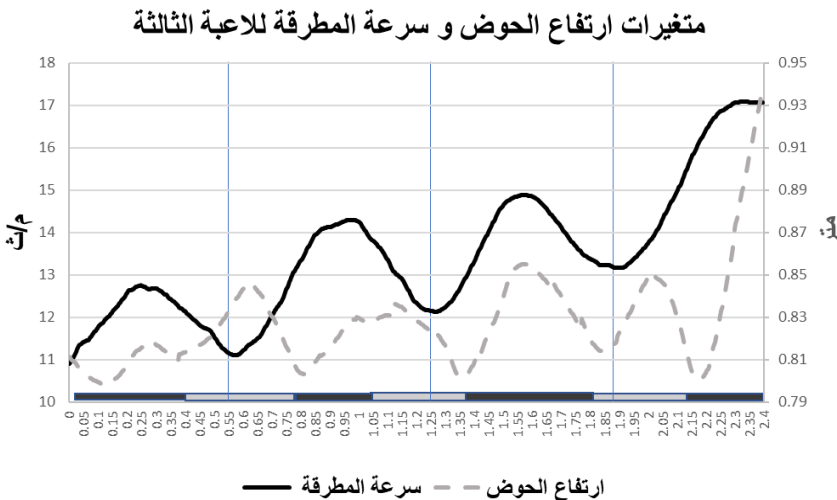
تظهر من الرسوم البيانية أن مرحلة الارتكاز المزدوج للاعبة أطول من الارتكاز الفردي وهذا يتماشى مع الموصى به تبعاً للتحليل الزمني لاداء المطرقة وأنه يجب أن يزيد زمن الارتكاز المزدوج حيث تطبق قوة اكبر للتسارع وارتفاع أفضل عنه في الارتكاز الفردي (Babbitt, 2003; Bartonietz, K., 1997; Manuel et al., 2002; Murofushi et al., 2007; Sakr, 2012).

ويبيّن شكل (٤) أن النقاط العليا للمطرقة في الدورانات الثلاثة لا تحدث في نفس الموضع في كل دوران. وهذا يظهر عدم ثبات للاداء. نلاحظ أن اقصى ارتفاع يصله الحوض يتزامن مع النقطة المنخفضة لرأس المطرقة والعكس بالعكس أي ان النقطة الأقل انخفاضاً لارتفاع الحوض تتزامن مع النقطة العليا للمطرقة وهذه نقطة قوة تبعاً لحليل أوتو (٢٠٠٠) ومورفوشى (٢٠٠٧).

نجد أيضاً أن قوة الشد في السلك (شكل ٥) والتي ترتبط بكل من السرع الزاوية ونصف قطر الدوران (شكل ٦)، تزداد مترافقاً مع تزايد سرعة المطرقة وكذلك مع فترات تزايد نصف قطر منحنى الدوران وتأخذ قيمها العليا قبل الرمي مباشرة. والزيادة في نصف قطر الدوران يتراوح بين ٤٠ - ٥٠ سم فرق بين القمة والقاع وحدوث الزيادة بعد المرور بالنقطة العليا يوضح أن الاعبة تعمل على التأثير بقوة أكبر على المطرقة لزيادة سرعتها في هذه المرحلة.

و هذه نقطة قوة لدى اللاعب إلا أنها إن عملت على تحسين التزامن بين إطالة نصف قطر الدوران مع شد المطرقة لانتجت سرعة أكبر. وبالرغم من هذا ومن صغر قيم المتغيرات مقارنة بالمستويات العليا ومنها الشد في السلك الذي تراوح بين ٤٠٠ نيوتن و ٨٠٠ نيوتن بينما في المستويات العليا يتراوح بين ٥٠٠ و ٢٥٠٠ نيوتن (Brice et al., 2008, 2015; Murofushi et al., 2005, 2007; Okamoto1 et al., 2006; Wang et al., 2016) إلا أن الأداء المهارى للاعبة بشكل على المسار الصحيح و لكنه يحتاج لتحكم أكبر في المطرقة و تزايد في التسارع حتى لحظة الانطلاق حتى لا يحدث تناقض في سرعة المطرقة بالرغم من زيادة طول نصف قطر الدوران و لكنه يحدث بزيادة ميل الجذع في نهاية الأداء عند الإطاحة.

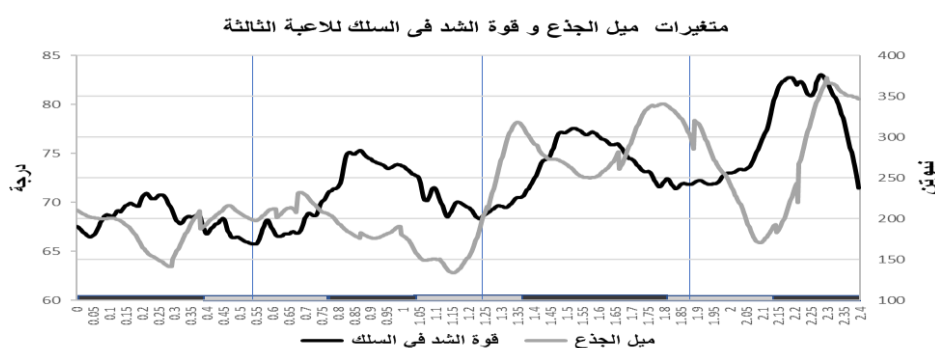
ثالثاً: عرض ومناقشة نتائج المتغيرات الكمية لأداء إطاحة المطرقة للاعبة الثالثة
يوضح شكل (٧) أن سرعة المطرقة تتزايد من دوران لآخر، حيث بدأت بسرعة ١١م/ث عند الدخول في الدوران و انتهت ١٧م/ث لحظة الإطاحة. وتتراوح قيم ارتفاع الحوض بين (٠.٨ - ٠.٩٣ م) وتصل أقصى قمية عند الإطاحة.



شكل (٧)

متغيرات ارتفاع الحوض و سرعة المطرقة للاعبة الثالثة، يظهر في كل رسم بياني خط مقسم فوق محور س يبين مراحل الارتكاز الفردى (رصاصى) و المزدوج (الاسود) و خطان عموديان يشيران إلى النقطة العليا للمطرقة

أما بالنسبة لقيم ميل جذع اللاعبه فهى أيضا لا تتخذ منحى واحد في جميع الدورانات ونلاحظ في شكل (٨) أنه يوجد قمتين أثناء الارتكاز المزدوج الثاني بفارق ٧ درجات ولا يبدو أن اللاعبه استخدمت ميل الجذع في زيادة طول نصف قطر الدوران حيث يبدو الشكل (٩) بدون فارق واضح بين بداية الدورانات حتى قبل مرحلة الاعداد للإطاحة كما في حالة اللاعبه الثانية . إلا أنه يبدو أن هناك اتساع في نصف قطر دوران جسم اللاعبه والذي يمكن ملاحظته من اتساع الفارق بين قمة المنحنى وقاعه في كل دوران وهذه نقطة ضعف لدى اللاعبه.



شكل (٨)

متغيرات ميل الجذع و قوة الشد في السلك للاعبة الثالثة، يظهر في كل رسم بياني خط مقسم فوق محور س يبين مراحل الارتكاز الفردي (رصاصي) والمزدوج (الأسود) وخطان عموديان يشيران إلى النقطة العليا للمطرقة



شكل (٩)

نصف قطر منحني الدوران للاعبة الثالثة، يظهر في كل رسم بياني خط مقسم فوق محور س يبين مراحل الارتكاز الفردي (رصاصي) والمزدوج (الأسود) وخطان عموديان يشيران إلى النقطة العليا للمطرقة

بالنسبة لسرعة المطرقة فهي تسير بقيم متزايد من دوران للاخر (شكل ٧). بدأ بسرعة ١١م/ث وانتهت ١٧م/ث لحظة الاطلاق. هذه القيم تبتعد كثيراً عن مستويات تحقيق أكثر من ٧٠ م مسافة رمي (Manuel et al., 2002; Murofushi et al., 2007). بل أن هذا المدى أقل من التزايد في السرعة الذي حققه اللاعب الأول بالرغم من اعتماده على دورانين اثنين فقط في مقابل ٣ دورانات ادتها الاعبة الثالثة. كما أنها تستخدم مطرقة وزنها ٢ كجم المناسبة لسنها.

ولكن في حالة هذه الاعبة فهو يعتبر تميز حيث استطاعت أداء ٣ دورانات و عملت على زيادة تسارع المطرقة من دوران للاخر. و تزامن فترة تسارع المطرقة مع النصف الأول من مراحل الارتكاز المزدوج أي بعد المرور بالنقطة العليا لرأس المطرقة. و أيضاً كان أكبر مقدار للتسارع بعد النقطة العليا الثالثة حتى لحظة التخلص ، وهذه نقطة قوية في أداء (Bartonietz, K., 1997; Bartonietz, 2000; Manuel et al., 2002; Murofushi et al., 2005)

كما يظهر أن توقيت وصول الحوض لاقصى ارتفاع غير ثابت أثناء الدورانات فهو يسير في اتجاه العلاقة الصحيحة في الدوران الأول و ربما الثالث و لكنه غير منتظم في الدوران الثاني . وهذه نقطة ضعف تبعاً لتحليل أوتو (٢٠٠٠) و مورفوشى (٢٠٠٧). و لكن وصول الاعبة لاقصى ارتفاع لحظة الإطاحة يعكس فهمها لمحاولة زيادة زيادة ارتفاع نقطة الانطلاق وهذه نقطة إيجابية وخاصة ان معدل التغير حوالي ١٤ سم في الرمي.

نجد أيضاً أن القوة الجاذبة المركزية التي تتضح في الشد في السلك (٨) والتي ترتبط بكل من السرع الزاوية ونصف قطر الدوران (شكل ٩)، تزداد مترافقاً مع تزايد سرعة المطرقة و لا تعتمد على زيادة نصف قطر الدوران حيث أنه يبقى متذبذباً و لا تحدث له طفرة إلا في الاعداد للرمي. و هذه نقطة ضعف لدى الاعبة إلا أنه إن عملت على تحسين التزامن بين إطالة نصف قطر الدوران مع شد المطرقة لانتجت سرعة أكبر. و لذلك تراوحت قيمة الشد في السلك بين ١٧٠ نيوتن و ٣٧٠ نيوتن بينما في المستويات العليا يتراوح بين ٥٠٠ نيوتن و ٢٥٠٠ نيوتن (Brice et al., 2008, 2015; Murofushi et al., 2005, 2007; Okamoto et al., 2006; Wang et al., 2016)

إلا أنه مع اعتبار كتلة المطرقة المستخدمة ٢ كجم في حالة هذه الاعبة صغيرة السن فإن تزامن المتغيرات مع النقاط العليا و السفلية للمطرقة جيد إلا أن المتغيرات الميكانيكية مثل

السرعة ونصف قطر الدوران يحتاجان إلى تحسين و كذلك يجب عليها الالتفات لميل الجذع واستخدامه في جذب المطرقة للتأثير عليها بمزيد من القوة لانتاج سرعة أكبر .

تظهر من الرسوم البيانية في شكل (٧) ان مراحل الارتكاز المزدوج للاعبة تقصر عن أو تتساوى مع مراحل الارتكاز الفردى في الدورانات الثلاثة و هذا لا يتفق مع الموصى به تبعاً للتحليل الزمني لاداء المطرقة و أنه يجب أن يزيد زمن الارتكاز المزدوج حيث تطبق قوة اكبر للتسارع و اتزان أفضل عنه في الارتكاز الفردى. ويبين شكل (٧) أن النقاط العليا للمطرقة في الدورانات الثلاثة لا تحدث في نفس الموضع في كل دوران . بل و حدثت مبكراً جداً في الدوران الأخير مباشرة عقب ترك القدم للأرض في الارتكاز الفردى و هذا على خلاف ما أوصى به كل من . (Babbitt, 2003; Bartonietz, K., 1997; Manuel et al., 2002; Murofushi et al., 2007; Sakr, 2012) و هو مما يدل على عدم ثبات الأداء المهاوى.

الاستخارات:

من خلال الاشكال البيانية والمتغيرات الميكانيكية الأربع اتضح أنه يمكن تقدير أداء إطاحة المطرقة بل والتعرف على نقاط الضعف، وهذه المتغيرات الأربع مرتبطة بسلامة الأداء المهاوى ومعرفة منتج العمل البدنى والمهاوى أثناء الدورانات وحتى لحظة التخلص. فمن خلال عرض مواضع النقاط العليا للمطرقة ونسبة متغيرات الشد في السلك وارتفاع الحوض وميل الجذع وربطهم مع المنتج و هو سرعة رأس المطرقة كان من الواضح معرفة نقاط الضعف وإمكانية التوجيه الدقيق لتحسين نقاط الضعف في التكنيك بأسلوب كمى كما تبين من مناقشة نتائج اللاعبين الثلاثة.

وبذلك فإنه يمكن تبسيط عملية التحليل الحركى بالاكتفاء بخمس علامات جسمية (رأس المطرقة، اليد اليسرى للاعب الأيمن، أول الفقرات الصدرية، أول الفقرات العصعصية) بدلاً من الجسم كاملاً تبعاً لبروتوكول كل برنامج تحليل حركى. وبذلك يمكن تقليل عدد الكاميرات المستخدمة مع ضمان الحصول على بيانات دقيقة.

((المراجـع))

- 1- Babbitt, D. (2003).** Hammer. In L. J. Silvester (Ed.), Complete book of throws (pp. 131–155). Human Kinetics.
<https://books.google.com.eg/books?id=J9M4dfg3HDsC&>

pg=PR2&lpg=PR2&dq=Complete+Book+of+Throws,+Human+Kinetics&source=bl&ots=iA1KuSl2_r&sig=tIXtMwIOgRfbGi9JonRPFq1fPMo&hl=en&sa=X&ved=0ahUKEwjQ9oe0wtvbAhWQEVAHZP_AlQQ6AEIRjAF#v=o nepage&q=Complete%2520Book%252

- 2- Bartonietz, K., et al. (1997).** Characteristics of top performances in the women's hammer throw: Basics and technique of the world's best athletes. New Studies in Athletics. <https://www.iat.uni-leipzig.de/datenbanken/iks/dlv-ws/Record/3029130>
- 3- Bartonietz, K. (2000).** Hammer Trowing: Problems and Prospects. In V. M. Zatsiorsky (Ed.), Biomechanics in Sport: Performance Enhancement and Injury Prevention (pp. 458–486). Blackwell Science Ltd.
- 4- Brice, S. M., Ness, K. F., & Rosemond, D. (2015).** Validation of a method to predict hammer speed from cable force. Journal of Sport and Health Science, 4(3), 258–262. <https://doi.org/10.1016/j.jshs.2013.11.005>
- 5- Brice, S. M., Ness, K. F., Rosemond, D., Lyons, K., & Davis, M. (2008).** Development and validation of a method to directly measure the cable force during the hammer throw. Sports Biomechanics, 7(2), 274–287. <https://doi.org/10.1080/14763140701841902>
- 6- Judge, L. W., Hunter, I., & Gilreath, E. (2008).** Using sport science to improve coaching: A case study of the American record holder in the women's hammer throw. International Journal of Sports Science and Coaching.

<https://doi.org/10.1260/174795408787186440>

- 7- Lee, C.-W., Liu, G.-C., Lin, D.-C., & Huang, C. (2000). The Comparsion Of Curvature Radius In Different Performances Of Hammer Throw. 18 International Sypmosium of Biomechanics in Sport.
- 8- Manuel, V., Gutiérrez, M., & Rojas, F. J. (2002). A biomechanical analysis of the individual techniques of the hammer throw finalists in the Seville Athletics World Championship 1999. New Studies in Athletics, 17(2), 15–26.
- 9- Murofushi, K., Sakurai, S., Umegaki, K., & Kobayashi, K. (2005). Development of a System to Measure Radius of Curvature and Speed of Hammer Head during Turns in Hammer Throw. International Journal of Sport and Health Science. <https://doi.org/10.5432/ijshs.3.116>
- 10- Murofushi, K., Sakurai, S., Umegaki, K., & Takamatsu, J. (2007). Acceleration Due to Thrower and Hammer Movement Patterns. Sports Biomechanics, 6(3), 301–314. <https://doi.org/10.1080/14763140701489843>
- 11- Okamoto1, A., Sakurai, S., & Ikegami, Y. (2006). Influence of Body Weight on Pulling Force Iin Hammer Throw. Proceedings of the ASP/UI Symposium on Close-Range Photogrammetry, XXIV ISBS Symposium 2006., 112.
- 12- Sakr, M. (2012). Women's Hammer Throw Measurement Information System And Kinetic Energy of Body Segments and Hammer Head [Konstanz University]. https://kops.unikonstanz.de/bitstream/handle/123456789/21135/sakr_211352.pdf?sequence=1&isAllowed=y

- 13- T.K.Karalis, X. (1991).** Archive of Applied Mechanics. 61, 344–360.
- 14- Wan, B., Gao, Y., Wang, Y., Zhang, X., & Li, H. (2020).** applied sciences Hammer Throw: a Pilot Study for a Novel Digital-Route for Diagnosing and Improving Its Throw Quality. Applied Science, 10(1922), 12.
- 15- Wang, Y., Chang, S., Shan, G., & Li, H. (2015).** A wireless sensor system for the training of hammer throwers. Proceedings - 2014 10th International Conference on Computational Intelligence and Security, CIS 2014. <https://doi.org/10.1109/CIS.2014.30>
- 16- Wang, Y., Wan, B., Li, H., & Shan, G. (2016).** A wireless sensor system for a biofeedback training of hammer throwers. SpringerPlus. <https://doi.org/10.1186/s40064-016-3069-5>